

شواهد ژئومورفولوژیک تکتونیک فعال حوضه آبخیز در که

ابوالقاسم گورابی* – دانشجوی دکتری ژئومورفولوژی دانشکده جغرافیای دانشگاه تهران
احمد نوحه گر – استادیار دانشگاه هرمزگان

دریافت مقاله: ۱۳۸۴/۳/۲۹ تایید نهایی: ۱۳۸۴/۳/۱۰

چکیده

اندازه‌گیری‌های کمی به ژئومورفولوژیست‌ها اجازه می‌دهد تا بطور واقعی و معقول لندرم‌های مختلف را با یگدیگر مقایسه کرده و شاخص‌های مورفولوژیک را محاسبه کنند. این امر در تشخیص و توصیف خاص ناحیه‌ای به عنوان مثال میزان فعالیت تکتونیکی مفید می‌باشد. شاخص‌های؛ منحنی هیپوسومتریک (Hc) و انگرال هیپوسومتریک (Hi) به درجه کالبد شکافی یک چشم انداز مربوط می‌شوند. عدم تقارن حوضه زهکشی (AF) و همچنین عکس شاخص تقارن توپوگرافی (T)، هر دو برای ارزیابی سریع حوضه زهکشی از نظر میزان کچشیدگی تکتونیکی در صورت وجود استفاده می‌شود. شاخص شب طولی رود (SL) یک ابزار مفید برای مطالعه تکتونیک ژئومورفولوژی می‌باشد. مقادیر بالای این شاخص عموماً در مناطقی که رودها سنگ‌های سخت یا ساختمان‌های فعال را قطع کنند، پیدا شده‌اند. شاخص سینوسی جبهه کوهستان (Smf) بیانگر تعادل بین نیروهای فرسایشی و تکتونیکی در جبهه کوهستان می‌باشد. معمولاً جبهه‌های کوهستانی فعال دارای مقادیر کمی از شاخص سینوسی جبهه کوهستان (Smf) می‌باشند. شاخص نسبت عرض کف بستر رود به ارتفاع آن (Vf) عامل تفکیک دره‌هایی با کف گسترده از دره‌های (V) شکل می‌باشد. مقادیر کم (Vf) بیانگر تکتونیک فعال در منطقه می‌باشد. در این تحقیق هفت شاخص ژئومورفولوژیکی برای بررسی فرایندهای پویا و دینامیک موثر در شکل دهی زمین و چشم اندازهای موجود و طبقه‌بندی فعالیت تکتونیکی حوضه آبخیز در که استفاده شده است. معمولاً طبقه‌بندی نواحی به مناطق؛ خیلی فعال، نیمه فعال و غیرفعال مفید می‌باشد. چنین طبقه‌بندی‌ای در تشخیص ناحیه برای تفکیک مناطق مختلف آن که احتیاج به مطالعات میدانی بررسی شاخص‌های ژئومورفولوژیک حوضه آبخیز در که مشخص شده که، این حوضه از مناطق فعال تکتونیکی می‌باشد. در پایان با توجه به شاخص گرادیان طولی رود (SL) حوضه آبخیز در که طبقه‌بندی شده است.

کلید واژه‌ها: تکتونیک ژئومورفولوژی، درکه، شواهد ژئومورفولوژیکی، راندگی تهران.

مقدمه

تکتونیک فعال یا تکتونیک ژئومورفولوژی فعال به مطالعه فرایندهای پویا و دینامیک موثر در شکل دهی زمین و چشم اندازهای موجود در آن می‌پردازد. در سال‌های اخیر تکتونیک ژئومورفولوژی به‌طور چشمگیر، یکی از ابزارهای عمدۀ و اساسی و موثر در

تشخیص شکل‌های تکتونیکی فعال و تهیه نقشه‌های خطر لرزه‌ای و همچنین درک و فهم تاریخچه چشم اندازهای کنونی سطح زمین بوده است (کلر^۱ و دیگران، ۲۰۰۲، ۱). امروزه ثابت شده است که تکتونیک ژئومورفولوژی کاربرد موثری در دانش ژئومورفولوژی دارد، این امر ناشی از ایجاد و تشکیل چشم اندازها و لندفرم‌های زمین از طرف دیگر می‌باشد. علاوه بر آن پیشرفت‌های جدید در نمایش چشم اندازهای فضایی لندفرم‌ها که خود ناشی از گسترش ماهواره‌ها و تصاویر ماهواره‌ای دقیق و همچنین گسترش علم ژئودزی حاصل شده است، این امر روز به روز فراگیرتر می‌گردد.

تکتونیک در علم زمین‌شناسی، عوامل به وجود آورنده ساختمان‌ها (مثل چینها، گسل‌ها و ...) و نیز رابطه شکل هندسی ساختمان به وجود آمده و نیروهای موثر را بازگو می‌کند (پورکرمانی و دیگران، ۱۳۸۱، ۲). ارزیابی ساختمان‌ها و لندفرم‌های زمین در طول تاریخ پیدایش آن‌ها موضوع دانش تکتونیک ژئومورفولوژی می‌باشد (استانلی^۲ و دیگران، ۲۰۰۰، ۲-۳). در مقیاس جهانی به وجود آمدن قاره‌ها و اقیانوس‌ها، در مقیاس ناحیه‌ای^۳ ساختمان سلسله جبال و در مقیاس محلی^۴ ساختمان چین‌ها، گسل‌ها، شیب‌ها و پرتگاه‌ها از موضوعات مطالعه شده تکتونیک ژئومورفولوژی می‌باشد (داگلاس^۵ و دیگران، ۲۰۰۰، ۱-۹).

مورفومتری و مورفولوژی به عنوان سنجش و توصیف کمی شکل‌ها و چشم اندازهای زمین تعریف شده‌اند (کلر و دیگران، ۲۰۰۲، ۱۲۱). در ساده‌ترین شکل، لندفرم‌ها و شکل‌های تشکیل دهنده زمین با اندازه، ارتفاع (حداقل و حداکثر) و شیب مشخص می‌شوند. اندازه‌گیری‌های عددی به ژئومورفولوژیست‌ها اجازه می‌دهد، تا به طور عینی و ملموس شکل‌های مختلف را مقایسه و ارزیابی کرده، با محاسبه الگوها و شاخص‌های کم اهمیت تر (شاخص‌های ژئومورفیک) به تشخیص توصیفی خاص از ناحیه اقدام کنند (فریته، ۱۳۷۰، ۱-۲). به عنوان مثال می‌توان میزان فعالیت و فعال بودن تکتونیک یک منطقه را به کمک این شاخص‌ها مورد ارزیابی قرار داد.

برخی از شاخص‌های ژئومورفیک، به عنوان ابزارهای اساسی برای تشخیص تغییر شکل‌های سریع تکتونیکی تجربه و آزمون شده و به طور وسیع مورد استفاده قرار گرفته‌اند، آن‌گاه نتایج حاصل در طرح‌های تحقیقاتی جهت کسب اطلاعاتی جامع و کامل درباره تکتونیک فعال مورد استفاده قرار گرفته‌اند. شاخص‌های ژئومورفیک به طور خاص برای مطالعات تکتونیک فعال استفاده می‌شوند (داگلاس و دیگران، ۲۰۰۲، ۳۲-۳۲). این موضوع به دلیل نقش این شاخص‌ها در ارزیابی سریع مناطق وسیع از نظر میزان تاثیر فعالیت‌های تکتونیکی می‌باشد. از طرفی اطلاعات لازم جهت این امر اغلب به آسانی از نقشه‌های توپوگرافی و عکس‌های هوایی قابل دسترس اند، می‌باشد.

برخی از شاخص‌های ژئومورفیک که در مطالعات مربوط به ارزیابی فعالیت‌های تکتونیکی بیشترین کاربرد را داشته (کلر و دیگران، ۲۰۰۲، ۱۲۲) و استفاده می‌شوند عبارتند از:

(۱) منحنی هیپسومتریک^۶؛ (۲) انتگرال هیپسومتریک^۷؛ (۳) عدم تقارن حوضه زهکشی^۸؛ (۴) شاخص گرادیان طولی رود^۹؛ (۵) شاخص سینوسی جبهه کوهستان^{۱۰}؛ (۶) نسبت عرض بستر دره به ارتفاع دره^{۱۱}؛ (۷) تقارن توپوگرافی معکوس حوضه زهکشی^{۱۲}؛

1 -Keller 2 -Stanley 3- Daglass 4 - Hypsometric Curve (Hc)

5 - Hypsometric Integral (Hi)

6 Drainage Basin Asymmetry (Asymmetric Factor)

7 Stream Length- Gradient Index (SL).

8. Mountain - Front Sinuosity(Smf).

9. Ratio Of Valley-Floor Width To Valley Height (Vf)

10. Transverse Topographic Symmetric Factor

نتایج شاخص‌های مذکور همراه با دیگر اطلاعات مانند میزان بالا آمدگی‌ها و ... ترکیب شده تا رده‌ها و طبقات فعال تکتونیکی که نقش اساسی و مهمی در ارزیابی و تشخیص میزان فعالیت‌های تکتونیکی در یک ناحیه را دارا می‌باشد، حاصل آیند.

ویژگی‌های منطقه مطالعه شده

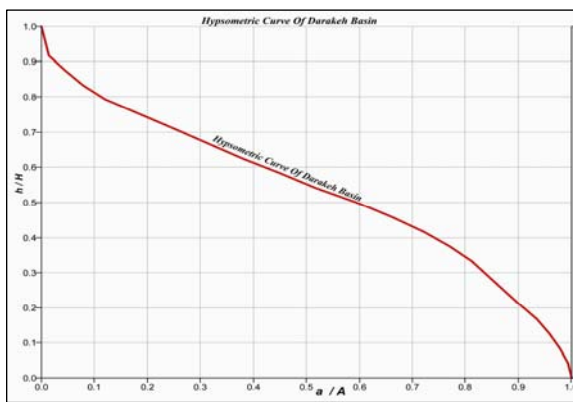
حوضه آبخیز در که (شکل ۱۹) در شمال شهر تهران با وسعتی برابر ۲۸ کیلومتر مربع، از حوضه‌های آبخیز استان تهران می‌باشد (گورابی، ۱۳۸۲، ۳). در شرق حوضه در که، دره دریند و در شمال آن قله توچال و در غرب آن دره فرحرزاد واقع شده است. روستای در که در انتهای ترین نقطه خروجی حوضه قرار دارد. رود دائمی در که این حوضه را زهکشی می‌کند. از نظر زمین‌شناسی ساختمانی جزیی از البرز محسوب می‌شود. (جاداری عیوضی، ۱۳۷۸، ۳۹). راندگی شمال تهران در جنوب، گسل امام‌زاده داود با شعبات متعدد آن در قسمت‌های میانی، گسل شیرپلا با شاخه‌های فرعی متعدد در شمال و گسل فرحرزاد در غرب حوضه، همچنین وجود سازندهای متعدد از نظر سختی و تشکیلات آتشفسانی مربوط به دوره ائوسن (که همراه با مارن، توف و میان لایه‌های^۱ شیل با ساختی گسل‌خورده و دارای درزه‌های فراوان از جمله خصایصی خاص می‌باشد) باعث شده این حوضه فیلد صحرایی مناسبی برای مطالعات تکتونیکی باشد. بدین جهت برای بررسی شواهد ژئومورفولوژیک تکتونیک فعال، حوضه آبخیز در که انتخاب شده است.

مواد و روشها

در این پژوهش از نقشه‌های توپوگرافی، عکس‌های هوایی و ماهواره‌ای منطقه استفاده شده است. ابتدا لایه‌های اطلاعاتی نقشه‌های توپوگرافی به سیستم اطلاعاتی GIS انتقال داده شد. آن‌گاه هفت شاخص ژئومورفولوژیک، یعنی منحنی هیپسومتریک، انگرال هیپسومتریک، عدم تقارن حوضه زهکشی، تقارن توپوگرافی معکوس حوضه زهکشی، شاخص گرادیان طولی رود، شاخص سینوسی جبهه کوهستان، نسبت عرض بستر دره به ارتفاع دره برای حوضه آبخیز در که بترتیبی که در زیر به تفصیل توضیح داده شده است، محاسبه شده‌اند. آن‌گاه با توجه به مقادیر شاخص‌های تکتونیکی به دست آمده حوضه آبخیز در که از نظر میزان فعالیت تکتونیک نسبی ارزیابی شده است.

منحنی هیپسومتری و انگرال هیپسومتری

منحنی‌های هیپسومتریک، توزیع سطوح ارتفاعی یک منطقه از زمین، یک حوضه آبخیز تا تمام سطح سیاره زمین را می‌توانند ارزیابی و توصیف کنند. منحنی هیپسومتریک حوضه با ترسیم ارتفاع کل (ارتفاع نسبی) در مقابل مساحت کل (مساحت نسبی) حوضه ترسیم می‌شود (علیزاده، ۱۳۸۰، ۴۴۸-۴۴۶). شکل ۱ منحنی هیپسومتریک حوضه آبخیز در که را نشان می‌دهد.



شکل ۱ منحنی هیپسومتریک حوضه آبخیز در که

مأخذ: جدول نمودار فوق با استفاده از داده‌های نقشه توپوگرافی ۱/۵۰۰۰۰ تجربیش و نرم افزار ELWIS رسم شده است

مساحت کل حوضه (A) برابر مجموع کل سطوح بین خطوط میزان مجاور یگدیگر در حوضه زهکشی می‌باشد. سطح (a) مساحتی از حوضه را در بر می‌گیرد که بالای ارتفاع (h) قرار داشته باشد. مقادار مساحت نسبی (a/A) معمولاً بین ۱ در پایین ترین نقطه حوضه ($h/H = 0$) تا ۰ در بالاترین نقطه حوضه ($h/H = 1$) تغییر می‌کند (جدول ۱).

جدول ۱ جدول هیپسومتریک حوضه آبخیز در که

Area	a / A	H	h / H
۲۸	۱	۰	۰
۸/۲۷	۰/۹۹	۱۰۰	۰/۰۴
۲۷/۴	۰/۹۸	۲۰۰	۰/۰۸
...
...
...
۲/۲	۰/۰۸	۲۰۰۰	۰/۸۳
۱/۳	۰/۰۴	۲۱۰۰	۰/۸۸
۰/۴	۰/۰۱	۲۲۰۰	۰/۹۲
..	..	۲۴۰۰	۱

مأخذ: جدول فوق بر اساس داده‌های استحصالی از نقشه توپوگرافی ۱/۵۰۰۰۰ تجربیش و به کمک نرم افزار اکسل رسم شده است.

از آنجایی که در منحنی هیپسومتریک، مساحت و ارتفاع حوضه بر مساحت و ارتفاع کل حوضه تقسیم شده و روی منحنی، اعداد حاصل به صورت بی بعد در آمده‌اند، در این صورت منحنی هیپسومتریک مستقل از مساحت و ارتفاع بوده و منحنی‌های هیپسومتریک حوضه‌های زهکشی در اندازه‌های مختلف از نظر ارتفاع و مساحت می‌توانند با یگدیگر مقایسه شده و تجزیه و تحلیل شوند. از این رو می‌توان از نقشه‌های توپوگرافی در مقیاس‌های بزرگ و کوچک که در دسترس بوده و به اندازه کافی موجود می‌باشند، استفاده کرد. در این صورت تفاوت در مساحت و مقیاس، هیچ تأثیری در ارزیابی‌های هیپسومتریک ندارد.

یکی از ساده‌ترین راه‌ها برای توصیف شکل منحنی هیپسومتریک یک حوضه زهکشی مشخص، محاسبه انتگرال هیپسومتریک آن حوضه می‌باشد. انتگرال هیپسومتریک حوضه به‌وسیله مساحت زیر منحنی هیپسومتریک مشخص می‌شود. یک راه برای برآورد سریع انتگرال هیپسومتریک رابطه زیر می‌باشد:

$$\text{حداصل ارتفاع} - \text{حداصل ارتفاع} / \text{حداصل ارتفاع} = \text{میانگین ارتفاع} = \text{انتگرال هیپسومتریک}$$

در این صورت سه مقدار فرمول فوق، که به آسانی از نقشه‌های توپوگرافی به دست می‌آید، برای محاسبه انتگرال هیپسومتریک حوضه زهکشی لازم می‌باشند. ماکریم و مینیم ارتفاع به طور مستقیم از نقشه توپوگرافی خوانده می‌شوند. میانگین ارتفاع حوضه آبخیز در که به‌وسیله نقاط نمونه (شبکه) که روی حوضه زهکشی قرار دارند و برابر ۶۹۴۵۷۹ عدد می‌باشند، محاسبه و مشخص می‌شود یا به وسیله مدل ارتفاعی حوضه^۱ حاصل می‌شود.

میزان انتگرال هیپسومتریک برای حوضه آبخیز در که از رابطه فوق برابر است با:

$$= ۰/۴۲۴ - ۳۸۱۱ / ۱۶۷۸ - ۲۶۱۱ / ۳۸۱۱ = \text{انتگرال هیپسومتریک حوضه آبخیز در که}$$

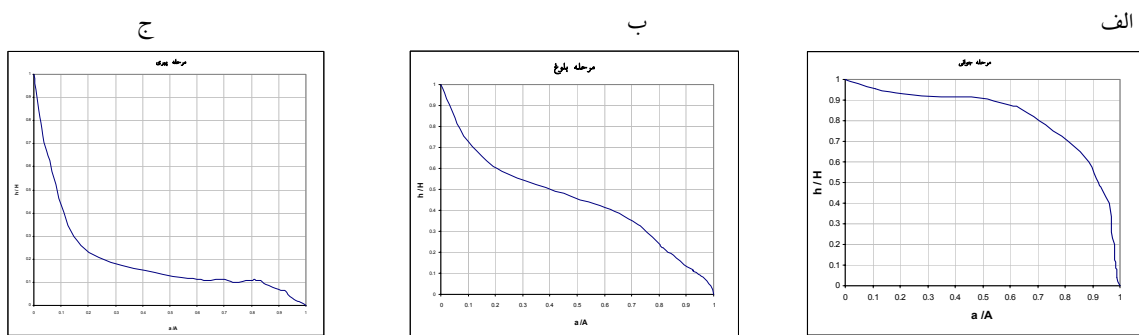
چنانچه مساحت زیر منحنی هیپسومتریک به وسیله انتگرال محاسبه شود، میزان دقیق انتگرال هیپسومتریک حوضه آبخیز در که برابر ۰/۵۵ می‌باشد، حاصل می‌شود. این مقدار محاسبه شده، نسبت به میزان احتسابی با فرمول فوق (۰/۴۲۴) تفاوت زیادی دارد. مقادیر بالای انتگرال هیپسومتریک (بالاتر از ۵۰٪) دلالت بر وجود پستی، بلندی و توپوگرافی بالا نسبت به میانگین حوضه زهکشی - همچون سطوح بالا آمده و فلاتی که به وسیله رودها بریده شده‌اند - و مقادیر حد واسط تا کم انتگرال هیپسومتریک حاکی از برش شبکه زهکشی در یک سطح هموارتر می‌باشد. ارتباط بین انتگرال هیپسومتریک و درجه بریدگی باعث شده تا انتگرال هیپسومتریک به عنوان شاخص و معیاری جهت تشخیص چرخه مرحله فرسایش چشم انداز استفاده شود.

چرخه فرسایش به‌طور نظری یک چشم انداز را در خلال چندین مرحله فرسایش به قرار زیر توصیف و ارزیابی می‌کند:

مرحله جوانی: مرحله‌ای که با برش‌های عمیق و برجستگی‌های ناهموار و ناصاف توصیف می‌شود (شکل ۱-الف).

مرحله بلوغ: مرحله‌ای که بسیاری از فرایندهای ژئومورفیک تقریباً به طور متوازن و متعادل روی می‌دهند (شکل ۱-ب).

مرحله پیری: مرحله‌ای که با چشم اندازهای نزدیک به سطح اساس با برجستگی‌های بسیار هموار شده و مقهور توصیف می‌شود (شکل ۱-ج).



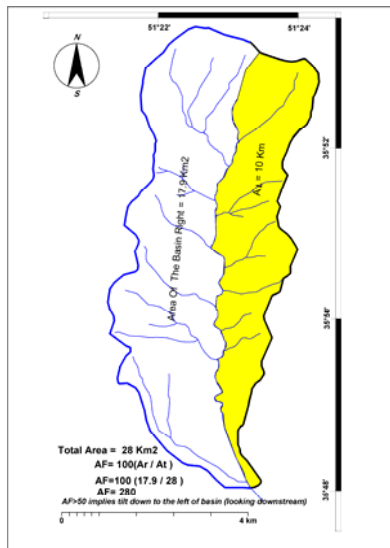
شکل ۲ منحنی‌های هیپسومتریک نظری (مین مراحل مختلف چرخه فرسایش) (ادوارد و همکاران، ۱۹۹۵، ۱۲۵)

شاخص انتگرال هیپسومتریک بالا بیانگر توپوگرافی جوان می‌باشد (شکل ۱ - الف). مقدار میانه و متوسط انتگرال هیپسومتریک بیانگر مرحله بلوغ (شکل ۱ - ب) و چنانچه منحنی هیپسومتریک به صورت هلالی شکل باشد، دلالت بر مرحله پیری حوضه زهکشی دارد (شکل ۱ - ج).

مقایسه منحنی هیپسومتریک حوضه با شکل‌های استاندارد فوق بر جوانی حوضه آبخیز در که دلالت دارند. به هر حال توصیف‌های عددی پیچیده منحنی هیپسومتریک که نقش قابل توجهی در ارزیابی پستی و بلندی‌ها دارند، از روش‌های در دسترس جهت مطالعات ژئومورفو-تکتونیک می‌باشند. بطور خلاصه، تجزیه و تحلیل هیپسومتریک به عنوان یک ابزار قدرتمند برای تفکیک مناطق و نواحی فعال و غیر فعال از نظر تکتونیکی دارای اهمیت و جایگاه خاصی می‌باشند. محاسبه منحنی هیپسومتریک و انتگرال هیپسومتریک تقریباً با ظهور مدل ارتفاعی حوضه آسان شده است. امروزه از روش هیپسومتری در ارزیابی‌های تکتونیکی در مقیاس قاره‌ای و جهانی استفاده می‌شود.

عدم تقارن حوضه زهکشی

شکل هندسی شبکه رودها را می‌توان از نظر کیفی و کمی با روش‌های متعددی توصیف کرد. در مناطقی که شبکه زهکشی در حضور تغییر شکل‌های تکتونیکی توسعه پیدا می‌کند، شبکه زهکشی اغلب دارای شکل هندسی و الگوی متمایزی می‌باشد. عامل عدم تقارن، برای توصیف و درک ارتباط کج شدگی تکتونیکی در نواحی‌ای با مقیاس حوضه زهکشی و بزرگ‌تر ارتباط داده شده است.



شکل ۳ ارزیابی عدم تقارن حوضه زهکشی

مأخذ: نقشه توپوگرافی ۱/۵۰۰۰۰ تجربی و محاسبات نگارنده

عامل عدم تقارن (AF) از رابطه زیر محاسبه می‌شود:

$$AF = 100 \left(\frac{Ar}{At} \right)$$

در رابطه فوق Ar مساحت قسمت راست حوضه (در جهت پایین رود) نسبت به رود اصلی و At مساحت کل حوضه زهکشی می‌باشد. برای شبکه رودی که تشکیل شده و تداوم جریان در حالت ثابتی وجود دارد، AF باید برابر ۵۰ باشد. AF به خم شدگی عمودی بر امتداد رود اصلی در حوضه زهکشی حساس می‌باشد. مقادیر بیشتر یا کمتر از ۵۰ ممکن است حاکمی از کچ شدگی حوضه زهکشی باشد. در حوضه زهکشی در که که جریان رود آن بسوی جنوب جاری است، چرخش تکتونیکی به طرف شرق می‌باشد (شکل ۳)، شاخه‌های روی کناره‌های غربی (سمت چپ) نسبت به شاخه‌های کناره‌های شرقی (جانب راست) رود اصلی، طولانی‌تر می‌باشند و AF بزرگ‌تر از ۵۰ می‌باشد (شکل ۳-برابر ۲۸۰).

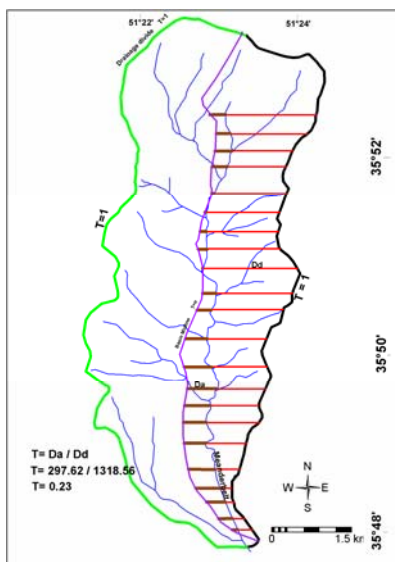
اگر خم شدگی در جهت عکس باشد، شاخه‌های بزرگ‌تر رود بر روی دامنه‌های شرقی (راست) رود اصلی حوضه قرار می‌گیرند و AF کمتر از ۵۰ می‌باشد. مانند اغلب شاخص‌های ژئومورفیک AF در مناطق و حوضه‌های زهکشی که حوضه زهکشی در سنگ‌های یکسانی گسترده باشند، بهترین عملکرد را دارد. در روش AF برای تجزیه و تحلیل‌های ژئومورفیک فرض بر این است که نه کنترل کننده‌های سنگ شناسی (مانند شیب طبقات رسوبی) و نه شرایط اقلیمی واکولوژیکی (همچون اختلاف پوشش گیاهی بین شمال و جنوب دامنه‌ها) محل باعث عدم تقارن نمی‌شوند.

شاخص تقارن توپوگرافی معکوس (T)

دیگر شاخص کمی برای ارزیابی عدم تقارن حوضه، عامل تقارن توپوگرافی معکوس (T) است. شاخص تقارن توپوگرافی معکوس از رابطه زیر به دست می‌آید.

$$T = Da / Dd$$

در رابطه فوق Da، فاصله خط میانی حوضه زهکشی تا کمرنگ‌فعال میاندrij حوضه (مسیر رود اصلی) و Dd فاصله خط میانی حوضه و خط تقسیم آب می‌باشد. (شکل ۴)



شکل ۴ ارزیابی شاخص تقارن توپوگرافی معکوس

مأخذ: نقشه توپوگرافی ۱/۵۰۰۰۰ تجربی و محاسبات نگارنده

برای حوضه‌های کاملاً متقارن، $T=0$ می‌باشد. با افزایش عدم تقارن، شاخص T افزایش پیدا می‌کند و در نهایت به ۱ نزدیک می‌شود. فرض بر این است که شب طبقات بر مهاجرت کانال اصلی رودخانه تأثیر ناچیزی داشته است، در این صورت مهاجرت عمومی و کلی دلیلی بر کج شدگی زمین در جهت خاص می‌باشد. بنابراین T بیانگر یک بردار با جهت و مقدار (۱-۰) می‌باشد. این تجزیه و تحلیل بیشتر برای حوضه‌های زهکشی با الگوهای دندریتیک مناسب می‌باشد. مناطقی که ارزیابی انشعاب دره‌ها به خوبی دره یا تنه اصلی باشد محدوده‌های مقادیر بزرگتر T مجاز می‌باشد. تجزیه آماری T می‌تواند برای ارزیابی جهت غالب مهاجرت رود استفاده شود. این روش (T) همرا با AF که قبلاً توضیح داده شد، به طور مستقیم شاهدی بر خم شدگی و کج شدگی حوضه زهکشی نمی‌باشد، اما AF روشی برای تشخیص سریع احتمال کج شدگی است. برای برآورد پارامترهای مورد نیاز شاخص تقارن توپوگرافی معکوس (T)، در حوضه آبخیز درکه، مقادیر Dd و Da در ۲۲ مقطع محاسبه و نتایج حاصل در جدول ۲ آورده شده است.

جدول ۲ شاخص تقارن توپوگرافی معکوس در حوضه آبخیز در که (T)

T	Dd	Da	پارامترها
			تعداد مسیرهای مورد ارزیابی
۰/۲۷	۳۷۳	۹۹/۵	۱
۰/۵۴	۴۷۴/۴	۲۵۵/۵	۲
۰/۷۰	۵۱۰/۸	۳۵۶/۷	۳
۰/۶۷	۶۸۵/۱	۴۶۰/۱	۴
۰/۵۲	۹۶۸/۹	۵۰۲/۷	۵
۰/۳۵	۱۱۷۱/۶	۴۱۱/۵	۶
۰/۳۱	۱۴۲۳	۴۳۵/۸	۷
۰/۳۵	۱۳۹۴/۶	۴۸۴/۴	۸
۰/۳۸	۱۴۶۷/۶	۵۵۱/۳	۹
۰/۳۳	۱۵۵۶/۸	۵۲۰/۹	۱۰
۰/۲۷	۱۵۲۸/۴	۴۰۹/۵	۱۱
۰/۱۶	۱۶۱۷/۶	۲۶۵/۵	۱۲
۰/۱۵	۱۶۹۰/۵	۲۵۷/۴	۱۳
۰/۰۱	۱۷۷۵/۷	۱۲/۲	۱۴
۰/۱۱	۱۵۳۳/۲	۱۶۲/۲	۱۵
۰/۰۸	۱۴۷۲/۴	۱۱۹/۶	۱۶
۰/۰۲	۱۳۹۸/۷	۲۴/۴	۱۷
۰/۰۴	۱۴۱۴/۹	۵۲/۷	۱۸
۰/۲۱	۱۳۹۰/۵	۲۸۷/۸	۱۹
۰/۲۲	۱۴۵۵/۴	۳۲۰/۳	۲۰
۰/۱۵	۱۷۰۶/۸	۲۵۹/۵	۲۱
۰/۱۵	۱۹۹۸/۶	۲۹۸	۲۲
۰/۲۳	۱۳۱۸/۵۶	۲۹۷/۶۲	میانگین

مأخذ نقشه توپوگرافی ۱/۵۰۰۰۰ تجربیش و محاسبات نگارنده

شاخص گرادیان طولی رود

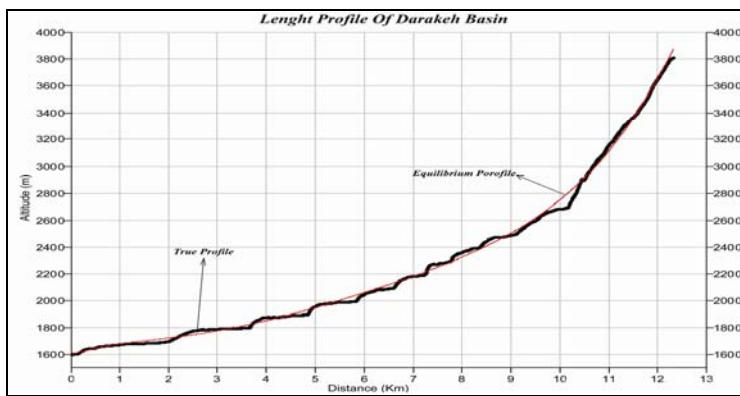
شاخص گرادیان طولی رود (SL) برای یک محدوده و مسیر مشخص شبکه زهکشی بر اساس رابطه زیر محاسبه و مشخص می‌شود:

$$SL = (\Delta H / \Delta L) * L$$

در رابطه فوق SL شاخص گرادیان طولی رود و $\Delta H/\Delta L$ شیب کanal یا گرادیان مسیر مشخص شده می‌باشد ΔH اختلاف ارتفاع بین دو نقطه اندازه گیری^۱ شده و ΔL طول ریچ و L طول کanal از نقطه مشخص شده و جایی که شاخص شروع به

ارزیابی شده تا مرتفع‌ترین نقطه کanal می‌باشد. در اغلب مواقع، این پارامترها از روی نقشه‌های توپوگرافی اندازه‌گیری می‌شوند.

شکل ۵ نیمرخ طولی رود در که را نشان می‌دهد.



شکل ۵ نیمرخ طولی رودخانه در که (واقعی، خط ضخیم و تعادلی، خط باریک)

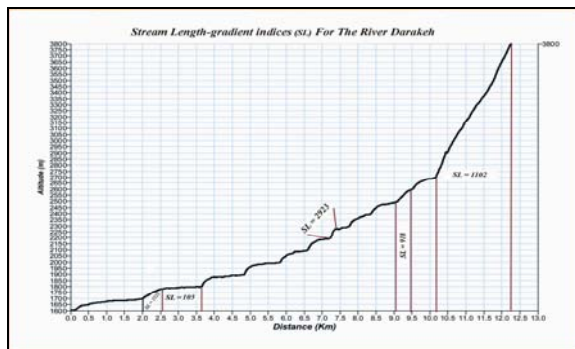
مأخذ: نمودار فوق بر اساس داده‌های حاصل از نقشه توپوگرافی ۱/۵۰۰۰۰ تحریش و محاسبات نگارنده و به کمک نرم افزار اکسل رسم شده است.

شاخص SL با قدرت رود ارتباط دارد. نیروی قابل دسترس رود در یک محدوده مشخص (ریچ) کanal، متغیر هیدرولوژیکی مهمی می‌باشد؛ زیرا به توانایی یک رود در فرسایش کف بستر آن و همچنین حمل مواد حاصل از فرسایش ارتباط دارد. نیروی کل یا نیروی قابل دسترس رود متناسب با شیب سطح آب و دبی می‌باشد. شیب سطح آب معمولاً ارتباط زیادی با شیب کanal دارد ($\Delta H/\Delta L$) و همچنین ارتباط خوبی بین طول کل کanal به طرف بالا و دبی سریز^۱ (دبی مورد نیاز برای پر شدن کامل کanal) که تصور می‌شود در شکل گیری و تداوم رودهای جاری مهم می‌باشد، وجود دارد. شاخص SL به تغییرات شیب کanal بسیار حساس است و این حساسیت، شرایط لازم برای ارزیابی مقدار ارتباط فعالیت تکتونیکی با مقاومت سنگ و توپوگرافی را فراهم می‌کند. شکل ۶ مقادیر شاخص SL در امتداد نیمرخ طولی حوضه آبخیز در که را نشان می‌دهد. همان‌طور که در شکل شماره ۶ مشخص شده است، روند این شاخص در طول مسیر با شیب یکسانی تداوم ندارد، بلکه در قسمت‌های مختلف مسیر با تغییر همراه می‌باشد (مقادیر SL روی شکل ۶ نشان داده شده است). با بررسی‌های میدانی و مراجعته به لایه اطلاعاتی زمین‌شناسی مشخص شد که شاخص SL به ساختمان سنگ‌شناسی و بهویژه زمین‌شناسی بسیار حساس می‌باشد.

تغییر قابل توجه SL در کیلومتر ۵ و ۱۰/۳ ناشی از تغییر لیتلولوژیکی بستر رودخانه می‌باشد. برخورد مسیر آبراهه‌ها در کیلومتر ۱۰/۵ به سنگ‌های مقاوم (واحد dg) باعث افزایش شاخص SL شده است. تغییر ناگهانی شیب نیمرخ طولی آبراهه در کیلومتر ۱۰/۳ نیز به علت برخورد به سنگ‌های سست و متناوب شیل و توف که به آسانی به وسیله آب‌های جاری فرسایش می‌یابند، می‌باشد.

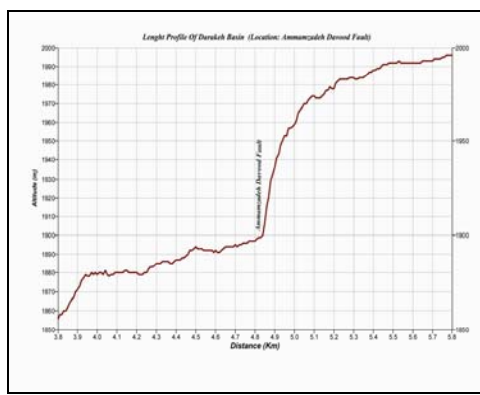
به منظور تفکیک عوامل زمین‌شناسی ساختمانی و سنگ‌شناسی موثر بر تغییر SL و همچنین تمایز مشخص تر و ارزیابی موثرتر شاخص SL ، محل‌هایی که شاخص SL تغییرات قابل توجهی داشته است، با مقیاس بزرگ‌تر بررسی شده‌اند. شکل‌های ۷ و ۸ و ۹ حساسیت شاخص SL به مقاومت سنگ‌شناسی و تغییرهای تکتونیکی مسیر و گسل‌ها را توصیف می‌کنند. عملکرد گسل

امامزاده داود موجب اختلاف ارتفاع حدود ۱۰۰ متری در مسیر آبراهه اصلی حوضه آبخیز در که در کیلومتر ۴/۸۵ شده است (شکل ۷).



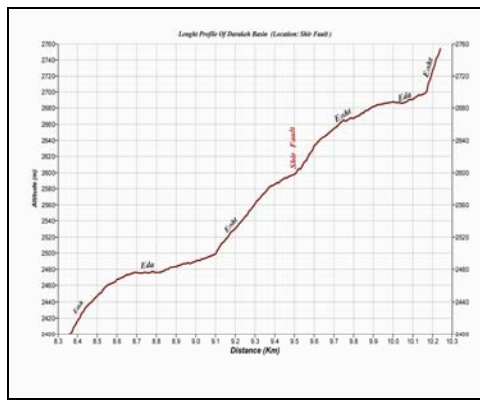
شکل ۶ برآورد شاخص SL در مناطق مشخص شده در امتداد نیمرخ طولی رودخانه در که

مأخذ: نمودار فوق بر اساس داده‌های حاصل از نقشه توپوگرافی ۱/۵۰۰۰۰ تجربیش و محاسبات نگارنده و به کمک نرم افزار اکسل رسم شده است.



شکل ۷ نیمرخ طولی رودخانه در که در محل گسل امامزاده داود

مأخذ: نقشه توپوگرافی ۱/۵۰۰۰۰ تجربیش، محاسبات نگارنده

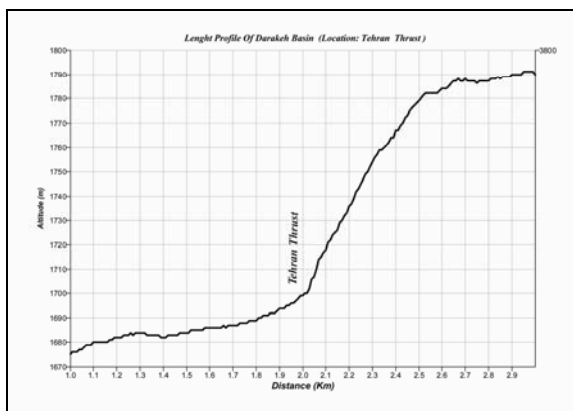


شکل ۸ نیمرخ طولی رودخانه در که در محل گسل شیرپلا

مأخذ: نقشه توپوگرافی ۱/۵۰۰۰۰ تجربیش، محاسبات نگارنده

ایجاد گسل‌ها در سنگ‌های مقاوم سبب اختلاف ارتفاع قابل توجهی در نیمرخ طولی رودخانه در که شده است (شکل ۷)، در صورتی که گسل‌ها در سنگ‌های سست روی داده باشد، تغییر قابل توجهی در میزان SL روی نداده است. شکل ۸ محل عملکرد گسل شیرپلا در مسیر نیمرخ طولی رودخانه در که در سنگ‌های سست واحد E1sht (تناوب شیل، مارن و توف دوره

ائوسن) را نشان می‌دهد. اختلاف ارتفاع موجود در کیلومترهای ۹/۱ و ۱۰/۱۵ ناشی از تغییر لیتوژوئی در مسیر شبکه زهکشی می‌باشد(شکل ۹). شکل ۹ تاثیر راندگی شمال تهران که جنوب حوضه را تحت تاثیر قرار داده، نشان می‌دهد.



شکل ۹ نیم‌رخ طولی رودخانه در که در محل راندگی تهران

اختلاف ارتفاع حدود ۱۰۰ متری، ناشی از عملکرد این راندگی می‌باشد. شکل ۶ مقادیر SL برای هر یک از موارد مذکور را نشان می‌دهد. به طرف بالای رود مقادیر شاخص SL در دره‌ها و جایی که نمونه‌های سنگ از نوع شیل و سیلتستون و همچنین برخی تناوب‌های توف و شیل می‌باشند، تغییرات زیادی دارد. شاخص SL به طور خارق‌العاده در جایی که رود سنگ‌های نسبتاً سخت منطقه راقطع می‌کند (واحد dg در حوضه آبخیز در که)، و همچنین به طور ناگهانی در سنگ‌های مقاوم که در مواردی آبشارهای بزرگی را تشکیل داده‌اند، افزایش پیدا می‌کند. آن‌گاه روی سنگ‌های نرم حوضه آبخیز در که و رسوبات پدیمنت (کوهپایه) کاهش پیدا می‌کند. بررسی‌ها و مطالعه SL در حوضه آبخیز در که، وجود ارتباط بین سنگ‌های مقاوم و شاخص گرادیان طولی رود را اثبات می‌کند. از طرف دیگر لندرفم‌های زمین با مقاومت سنگ‌ها تطابق خوبی دارد. در ارزیابی چشم انداز تطبیق نیم‌رخ طولی رود با مقاومت سنگ، فرض شده تا تغییر به طور سریع و واضح روی دهد. بنابراین شاخص SL برای تشخیص فعالیت‌های تکتونیکی اخیر به وسیلهٔ بی‌نظمی‌های مقادیر بالا روی یک نوع سنگ خاص قابل تشخیص است. یک ناحیه با شاخص SL بالا، روی سنگ‌های نرم و سست ممکن است که بیانگر فعالیت‌های تکتونیکی جدید باشد. بی‌نظمی مقادیر کم شاخص نیز ممکن است، بیانگر فعالیت تکتونیکی باشد. به عنوان مثال، در امتداد دره‌های ایجاد شده به وسیله گسل‌ها تصور می‌شود، شاخص‌ها دارای مقدار کمی باشند، زیرا سنگ‌های دره‌ها اغلب در اثر حرکات گسل، خرد و متلاشی شده‌اند، و جریان رود از میان این سنگ‌های خرد و متلاشی شده دره‌ها، باید شیب کمتری داشته باشند(شکل ۸ کیلومتر ۹/۵).

برای طبقه‌بندی حوضه آبخیز در که بر اساس شاخص SL، نقشه شاخص SL طی مراحل زیر تهیه شده است.

- نقشه توپوگرافی منطقه مورد نظر تهیه و در سیستم GIS ژئورفرنس می‌شود. و سپس مسیر شبکه آبرهه‌های اصلی بر روی لایه‌ای جدید در سیستم GIS مشخص گردید. مسیر رودها تا جایی که منحنی‌های تراز دیگر به شکل V نمی‌باشند، در جهت بالای رود ادامه داده می‌شود.

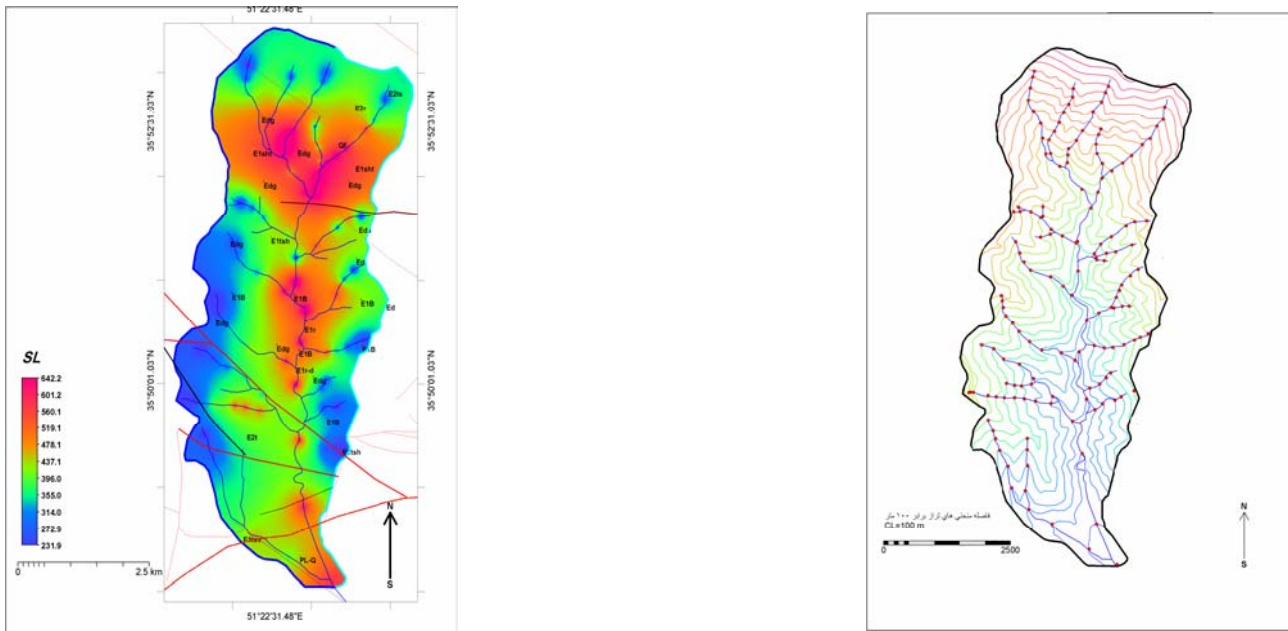
۲- فاصله منحنی تراز مناسب انتخاب می شود. (مثلاً ۲۰ متر برای نقشه های مقیاس ۱/۵۰۰۰۰). آن گاه موقعیت جاها بی که منحنی های تراز مسیر رودها را قطع کرده اند، بر روی لایه ای جدید علامت گذاری می شود (شکل ۱۰).

۳- در مرحله بعد نقاط هم ارتفاع در سیستم جغرافیایی تعیین و به یگدیگر (بین رودها) متصل شدند. این عمل موجب ایجاد نقشه های هم سطح (که رودها فرسایش داده اند) می شوند نقشه های حاصل، نقشه های هم سطح فرسایش^۱ نامیده می شوند. شکل ۱۰ نقشه هم سطح فرسایشی حوضه آبخیز در که را نشان می دهد.

۴- در راستای هر یک از رودها، اندازه گیری ΔL بین کنورهای متواالی در امتداد رود و نیز کل طول رود به طرف بالای رود صورت می گیرد. محاسبات ساده هستند، زیرا اختلاف ارتفاع منحنی های تراز ثابت می باشد. بنابراین ΔH ثابت می باشد. شاخص SL از رابطه $SL = (\Delta H / \Delta L)^* L$ (ساب انولوپ) محاسبه می شود. این موقعیت ها به صورت نقاطی روی شکل شماره ۱۰ نشان داده شده اند.

۵- در آخرین مرحله با اتصال نقاطی که دارای مقادیر SL یکسان می باشند، نقشه شاخص SL ساخته می شود.

نقشه شاخص SL برای حوضه آبخیز در که (شکل ۱۱) بیانگر این است که سه کمربند با شاخص بالای SL در بین خطوط تراز ۱۶۰۰-۱۷۰۰ و ۱۹۰۰-۲۴۰۰ و ۲۶۰۰-۳۲۰۰ متر برای شعبات رودهای موجود در فواصل ارتفاعی مذکور وجود دارد. این زون ها منعکس کننده واحد های سنگ مقاوم و آنگاه طبقه سست در امتداد جنوبی دامنه رشته کوه می باشد. مطالعه میدانی حوضه آبخیز در که وجود لایه مقاوم (dg) را تایید می کند. در این صورت شاخص SL به عنوان ابزار شناسایی مقدماتی بررسی فعالیت تکتونیکی در مطالعات میدانی مفید باشد.



شکل ۱۱ نقشه هم سطح فرسایش حوضه آبخیز در که

مأخذ: نقشه توپو گرافی ۱/۵۰۰۰۰ تجربیش و محاسبات نگارنده^{۱۰}

1. SUBENVELOPE MAP

۱۰- برای دسترسی به نقشه ها نمودارهای زنگی و سایر منابع مرتبط به آدرس Agoorabi.googlepages.com مراجعه شود.

شاخص سینوسی جبهه کوهستان

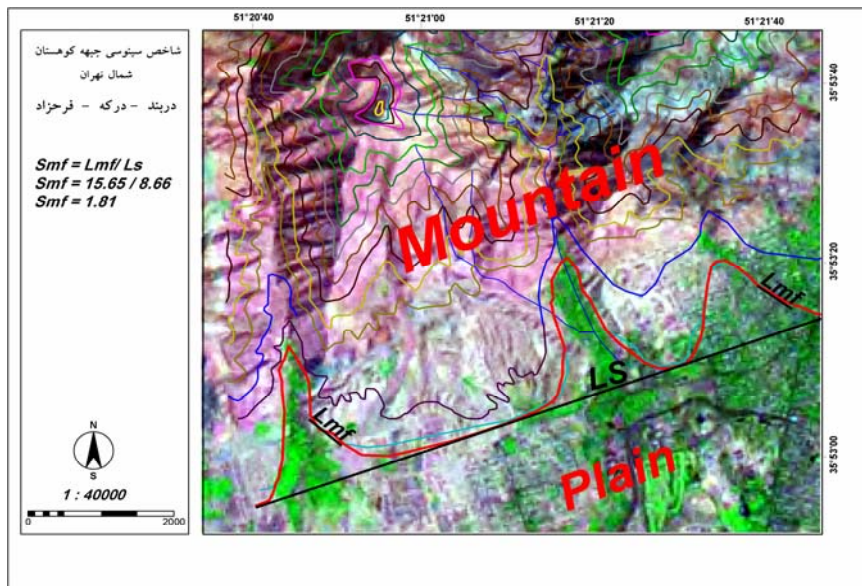
شاخص سینوسی جبهه کوهستان از رابطه زیر به دست می‌شود:

$$Smf = Lmf / Ls$$

در رابطه فوق، Smf شاخص سینوسی جبهه کوهستان، طول جبهه کوهستان در امتداد کوهپایه و در محل شکست مشخص شیب (کنیک) و Ls طول خط مستقیم جبهه کوهستان را نشان می‌دهند. (شکل ۱۲). شاخص سینوسی جبهه کوهستان شاخصی است که بیانگر تعادل بین نیروهای فرسایش دهنده که تمایل به بریدن و ایجاد شکل‌های خلیجی شکل و برش به داخل جبهه کوهستان را دارد از یک طرف و نیروهای تکتونیکی که تمایل به ایجاد یک جبهه کوهستانی مستقیم به طور همزمان با گسل خوردگی متواالی و مرحله به مرحله را دارند، می‌باشد. این جبهه‌های کوهستانی با بالآمدگی تکتونیک فعال که به طور نسبی مستقیم هستند، با مقادیر کم Smf همراه می‌باشند. اگر نرخ بالا آمدگی کاهش یافته یا متوقف شده باشد، در نتیجه فرایندهای فرسایش جبهه کوهستان را به طور قهقهایی حفر خواهد کرد و Smf افزایش پیدا خواهد کرد.

در عمل مقادیر Smf ممکن است به آسانی از روی نقشه‌های توپوگرافی یا عکس‌های هوایی محاسبه شود. با وجود این، مقادیر Smf بستگی به مقیاس تصاویر و نقشه‌ها دارد، نقشه‌های توپوگرافی با مقیاس کوچک (۱/۲۵۰۰۰) یک ارزیابی نابهنجار برای شاخص سینوسی جبهه کوهستان ارایه می‌کنند. عکس‌های هوایی و نقشه‌های توپوگرافی با مقیاس بزرگ‌تر و قدرت تفکیک بالاتر (در صورت وجود اختلال در جبهه کوهستان) برای محاسبه شاخص Smf مفیدتر می‌باشند.

شکل ۱۲ چگونگی محاسبه شاخص Smf برای حوضه آبخیز در که را نشان می‌دهد. همان طور که در شکل مشخص شده است، میزان شاخص Smf برابر ۱/۸۱ می‌باشد.



شکل ۱۲ محاسبه شاخص سینوسی جبهه کوهستان

نسبت عرض کف بستر به ارتفاع دره (Vf)

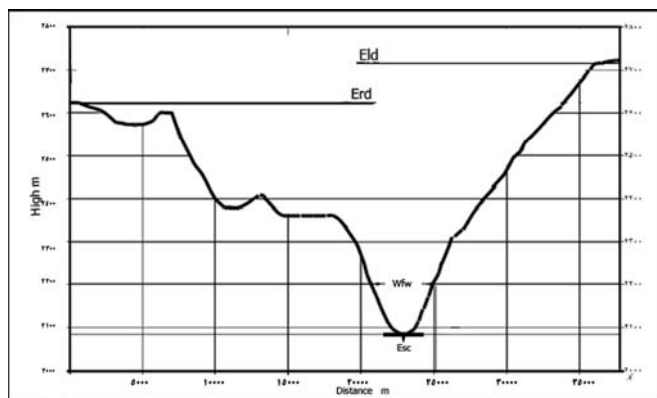
نسبت عرض کف بستر دره به ارتفاع دره (Vf) از رابطه زیر محاسبه می‌شود.

$$Vf = \frac{2}{[(E_{ld} - E_{sc}) + (E_{rd} - E_{sc})]}$$

در رابطه فوق Vf نسبت عرض به ارتفاع دره، Vfw پهنا (عرض) دره، Erd و Eld بترتیب، ارتفاع خط تقسیم آب در قسمت راست و چپ دره، Esc ارتفاع کف بستر دره می‌باشد (شکل ۱۳).

هنگام محاسبه VF ، این پارامتر در یک سری فاصله از جبهه کوهستان برای هر دره مورد بررسی قرار می‌گیرد. این شاخص دره‌ها با بستر وسیع و مقادیر VF نسبتاً زیاد را از دره‌های ۷ شکل با مقادیر کم VF تفکیک می‌کنند. مقادیر زیاد VF مرتبط با نرخ‌های کم بالا آمدگی می‌باشند. بنابراین رود پهنه‌ای بستر خود را فرسایش داده، به طوری که به طور گستردگی پهنه‌ای بستر دره افزایش می‌یابد. مقادیر کم VF بیانگر دره‌های عمیق همراه با رودهایی که به طور فعال کف بستر خود را حفر می‌کنند و همچنین به طور معمول همراه با بالا آمدگی است، می‌باشد. جدول ۳ پارامترهای لازم برای محاسبه VF حوضه آبخیز در که را نشان می‌دهد. همان طور که در جدول ۳ مشخص شده است، برای ارزیابی منطقی از مقدار VF ، ۱۲ برش عرضی در جهت عمود بر آبراهه اصلی حوضه آبخیز در که ترسیم و VF برای هر یک محاسبه شده است (شکل ۱۴). آنگاه میانگین VF کل حوضه آبخیز محاسبه شده و به عنوان مقدار عددی مبنای سنجش فعالیت‌های تکتونیکی لحاظ شد. (جدول ۲).

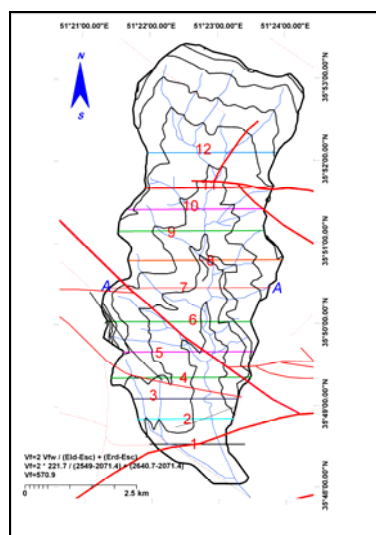
در نهایت VF از رابطه: $VF = 2VFW / [(Eld - Esc) + (Erd - Esc)]$ محاسبه شده است.



شکل ۱۳ محاسبه نسبت عرض کف بستر دره به ارتفاع دره (Vf) در امتداد نیمرخ AB (نک به شکل ۱۴)

میزان VF همان طور که در جدول مشخص است، برای کل حوضه برابر $570/9$ می‌باشد. بیشترین میزان VF در راستای نیمرخ شماره ۵ و ۶ و ۱۱ می‌باشد (جدول ۳).

مقادیر عرض کف دره به ارتفاع دره (VF) در حوضه آبخیز در که از $221/1-781/4$ تغییر می‌کند، مقادیر کم مربوط به دره‌های جنوبی راندگی بزرگ تهران، جایی که فعالیت تکتونیک جدی ترمی باشد، است.

شکل ۱۴ موقعیت نیمروزهای دوازده گانه برای محاسبه شاخص Vf جدول ۳ مقادیر شاخص Vf در حوضه آبخیز در که

Esc	Erd	Esc	Eld	Vfw	Vf	نوبت جذب
۱۷۱۹	۱۹۳۳	۱۷۱۹	۱۸۱۱	۳۲۵	۲۲۱	۱
۱۷۸۷	۲۱۲۳	۱۷۸۷	۱۹۲۷	۳۰۰	۳۴۰	۲
۱۷۴۹	۲۲۱۹	۱۷۴۹	۲۱۲۵	۱۸۹	۴۷۱	۳
۱۸۶۰	۲۴۲۸	۱۸۶۰	۲۲۱۵	۱۶۱	۵۶۴	۴
۱۸۹۲	۲۶۳۰	۱۸۹۲	۲۲۲۲	۲۱۲	۷۳۹	۵
۱۹۸۶	۲۷۴۰	۱۹۸۶	۲۴۸۵	۱۶۰	۷۵۵	۶
۲۰۸۰	۲۶۲۰	۲۰۸۰	۲۷۱۳	۱۷۴	۵۴۱	۷
۲۱۸۹	۲۸۶۹	۲۱۸۹	۲۸۸۱	۲۰۰	۶۷۸	۸
۲۳۳۱	۲۹۴۹	۲۳۳۱	۲۸۹۶	۹۰	۶۱۸	۹
۲۴۸۰	۳۰۱۱	۲۴۸۰	۲۹۹۳	۲۱۷	۵۳۲	۱۰
۲۳۸۱	۳۱۶۲	۲۳۸۱	۳۳۲۲	۱۹۳	۷۸۱	۱۱
۲۳۹۸	۳۰۰۷	۲۳۹۸	۲۸۶۶	۴۳۹	۶۱۱	۱۲
۲۰۷۱	۲۶۴۱	۲۰۷۱	۲۵۴۹	۲۲۲	۵۷۱	Mean
۱۷۱۹	۱۹۳۳	۱۷۱۹	۱۸۱۱	۳۲۵	۲۲۱	Min
۱۷۸۷	۲۱۲۳	۱۷۸۷	۱۹۲۷	۳۰۰	۳۴۰	Max

مالخ: نقشه توپوگرافی ۱/۵۰۰۰۰ تحریش، محاسبات نگارنده

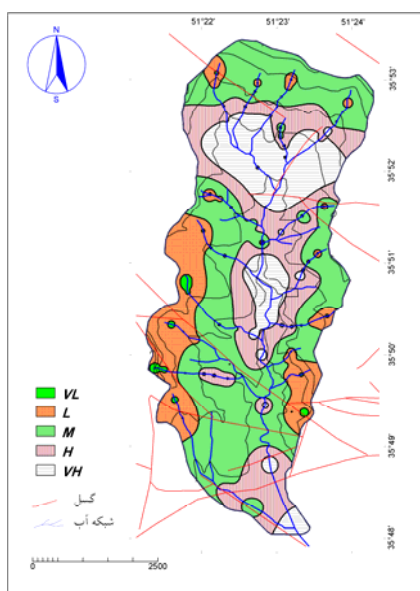
نتایج و طبقه بندی نسبی فعالیت تکتونیکی در حوضه آبخیز در که هر یک از شاخص‌های مورد بحث در فوق یک طبقه بندی نسبی از فعالیت تکتونیکی ارایه می‌دهند که برای مطالعات شناسایی و بررسی‌های مقدماتی مفید می‌باشند. وقتی چندین شاخص در یک ناحیه خاص برای طبقه بندی و تجزیه و تحلیل فعالیت تکتونیکی به کار برد شوند، نسبت به بکارگیری یک شاخص، نتایج با معناتر و مستدل‌تری را در بر خواهند داشت. این مفهوم برای حوضه آبخیز در که واقع بر دامنه‌های جنوبی رشته کوه البرز ارزیابی شده است. حوضه مزبور از نظر زمین‌شناسی تاریخی حوضه‌ای پیچیده بوده و تحت تأثیر حرکات تکتونیکی و نیروهای فشاری قوی در طی دوره نوژن قرار داشته است. ۱۲ مقطع و برش Vf ارزیابی شده است (جدول ۳). علاوه بر آن، شاخص SL برای حوضه محاسبه شده است. این مقاطع به طور معمول دارای شاخص‌های بالای SL می‌باشد. تغییرات زیاد شاخص Vf (که برابر $349/8$ است)، انکاس دهنده فعالیت تکتونیکی بالای می‌باشد. شاخصهای منحنی هیپسومتریک و انتگرال هیپسومتریک بیانگر حوضه‌ای فعال از نظر مراحل فرسایش می‌باشند که این امر ناشی از فعالیت تکتونیکی نسبی فعال می‌باشد. حوضه دارای مقدار کم شاخص سینوسی (Smf) در ناحیه و برابر $1/81$ می‌باشد و نسبت عرض کف بستر به ارتفاع دره اختلاف بسیار زیادی دارد (570). شاخص عدم تقارن حوضه زهکشی (AF) برابر 280 است. این شاخص به همراه شاخص تقارن توپوگرافی معکوس (با مقدار $0/23$) نیز بیانگر فعالیت تکتونیکی بالا در منطقه می‌باشد. جدول ۴ خلاصه ارزیابی پارامترهای ژئومورفولوژیکی که برای تجزیه و تحلیل فعالیت تکتونیکی حوضه در که استفاده شده‌اند را نشان می‌دهد.

جدول ۴ نتایج حاصل از ارزیابی شاخص‌های ژئومورفولوژیک در حوضه آبخیز در که

شاخص‌ها	نماد	توصیف کمی	توصیف کیفی	ارزیابی توصیفی فعالیت تکتونیکی (+) وجود فعالیت تکتونیکی
منحنی هیپسومتریک	HC	----	مرحله جوانی	+
انتگرال هیپسومتریک	HI	$/55$	مرحله جوانی	+
عدم تقارن حوضه زهکشی	AF	280	فعال	+
تقارن توپوگرافی معکوس	T	$/23$	فعال	+
شاخص گرادیان طولی رود	SL	$110-1199$	فعال	+
شاخص سینوسی جبهه کوهستان	Smf	$1/81$	فعال	+
نسبت عرض کف بستر به ارتفاع دره	Vf	$221-781$	فعال	+

مأخذ: نگارنده

در این تحقیق حوضه آبخیز در که بر اساس شاخص گرادیان طولی رود (SL) نسبت به میزان فعالیت‌های تکتونیکی طبقه بندی شده است. در شکل ۱۵ طبقه بندی حوضه آبخیز در که نسبت به شاخص SL نشان داده شده است. همان‌طور که در شکل ۱۵ مشخص شده است، سه کمربند عمده با شاخص SL بالا در حوضه آبخیز در که وجود دارد. جدول ۵ ویژگی‌های کمی هر پهنه را نشان می‌دهد. مناطق با SL بالا بیشتر در محل تلاقی آبراهه‌ها تمرکز یافته‌اند. مناطق با SL کم در ابتدای مجاري آبراهه‌ها قرار دارند. از کل مساحت ۲۸ کیلومتر مربعی حوضه $50/82$ درصد (شکل ۱۶) آن دارای SL متوسط ($430-330$) می‌باشند. در متنهای ایه حوضه میزان شاخص SL افزایش پیدا کرده است (شکل ۱۵).



شکل ۱: پهنه‌بندی حوضه آبخیز در که بر اساس شاخص SL

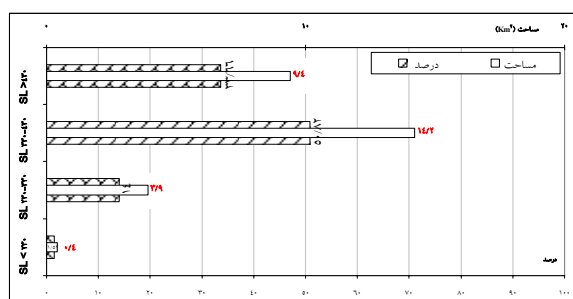
مأخذ: نقشه توپوگرافی ۱/۵۰۰۰۰ تجربیش و محاسبات نگارنده

جدول ۵ مشخصات کمی طبقات نسبت به شاخص SL در حوضه آبخیز در که

ردیف	ردیف	ردیهای شاخص گرادیان طولی رود (SL)
۱/۵۲	۱۴	SL < ۲۳۰
۱۴	۳/۹	SL ۳۳۰-۳۳۰
۵۰/۸۲	۱۴/۲	SL ۳۳۰-۴۳۰
۳۳/۶۶	۹/۴	SL > ۴۳۰
۱۰۰	۲۸	مجموع

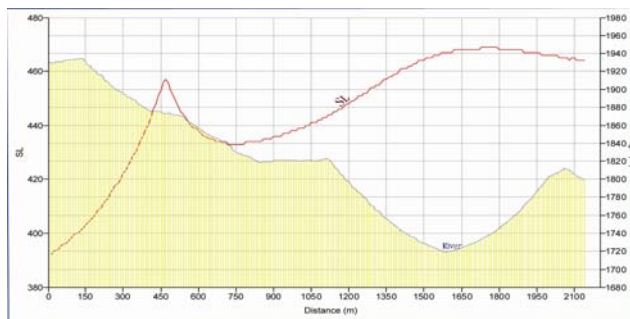
مأخذ: نقشه توپوگرافی ۱/۵۰۰۰۰ تجربیش و محاسبات نگارنده

در شکل ۱۴، VL بیانگر پهنه‌های دارای SL بسیار زیاد می‌باشد. مناطقی که دارای شاخص SL بسیار زیادی می‌باشند، می‌توانند از مناطق فعال تکتونیکی محسوب شوند، در این صورت برای اثبات این موضوع انجام مطالعات میدانی تفضیلی تر در این مناطق الزامی است.



شکل ۱۶ نمودار پراکنش پهنه‌های مختلف SL در حوضه آبخیز در که

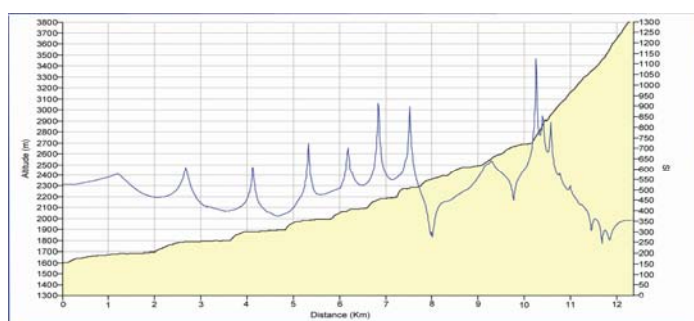
مأخذ: نقشه توپوگرافی ۱/۵۰۰۰۰ تجربیش و محاسبات نگارنده



شکل ۱۷ مقایسه تغییرات شاخص SL و برش عرضی شماره ۱ (نک شکل ۱۴) در حوضه آبخیز در که

مأخذ: نگارنده

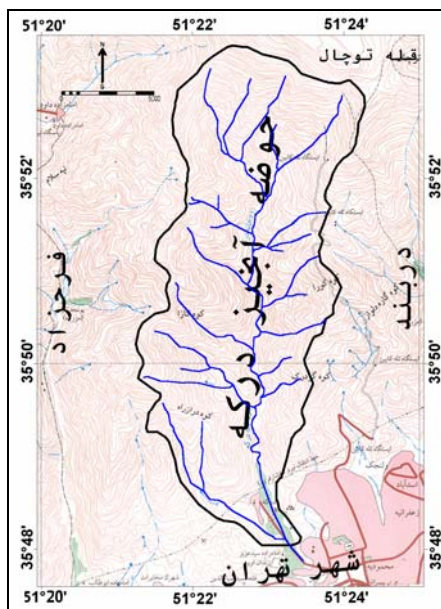
شکل ۱۷ تغییرات SL در امتداد نیمرخ شماره یک (نک شکل ۱۴) را نشان می‌دهد. همان‌طور که در شکل مشخص می‌باشد، میزان SL در راستای رودخانه در که افزایش چشمگیری داشته است. شکل ۱۸ تغییرات میزان SL در امتداد نیمرخ طولی در که را که از روی نقشه SL (نک به شکل ۱۱) محاسبه شده، نشان می‌دهد. شکل ۱۸ بخوبی محل‌های افزایش شاخص SL را مشخص نموده است.



شکل ۱۸ تغییرات SL در امتداد نیمرخ طولی رودخانه اصلی در که

مأخذ: نگارنده

همان‌طور که در قبل اشاره شد، علل این تغییرات ناشی از عوامل تکتونیکی و لیتولوژیکی می‌باشد. نتایج فوق به کارایی شاخص‌های ژئومورفولوژیکی در تعیین مناطق فعال از نظر تکتونیکی تاکید دارد. در این صورت با استفاده از این شاخص‌ها می‌توان به محل، موقعیت گسل‌ها و تغییرات لیتولوژیکی پی برد.



شکل ۱۹ موقعیت حوضه آبخیز در که

منابع

۱. پور کرمانی، محسن؛ حسین معتمدی، (۱۳۸۱). روش‌های اساسی زمین‌شناسی ساختمانی، انتشارات دانشگاه شهید بهشتی.
۲. جداری عیوضی، جمشید (۱۳۷۸)، ژئومورفولوژی ایران ، انتشارات دانشگاه پیام نور.
۳. سازمان جغرافیایی نیروهای مسلح. نقشه توپوگرافی ۱/۵۰۰۰۰ تجریش.
۴. سازمان زمین‌شناسی و اکتشافات کشور (۱۳۶۷)، نقشه زمین‌شناسی ۱:۱۰۰۰۰۰ تهران.
۵. سازمان فضایی ایران. تصویر ماهواره‌ای ETM+ شمال تهران.
۶. علیزاده، امین (۱۳۸۰). اصول هیدرولوژی کاربردی، انتشارات آستان قدس.
۷. فریفته، جمشید (۱۳۷۰). تحلیل‌های کمی در ژئومورفولوژی، انتشارات دانشگاه تهران.
۸. گورابی، ابوالقاسم (۱۳۸۲). پنهانه بندی حوضه آبخیز در که، پایان نامه کارشناسی با راهنمایی دکتر مجتبی یمانی در رشته ژئومورفولوژی، دانشگاه تهران.
9. Goorabi.googlepages.com
10. Duglas W.burbank,Robert S.Anderson(2001).Tectonic Geomorphology.Blackwell Science,Ltd
11. Keller Edward, A, and Nicholas Pinter (1995). Active Tectonics Earthquake, Uplift, and Landscape.; Prentice Hall publisher. New, Jersey
12. Keller Edward, A, and Nicholas Pinter (2002). Active Tectonics Earthquake, Uplift, and Landscape.; Prentice Hall publisher. New, Jersey
13. Rieben, E. H. (1955). The geology of the Tehran plain. An. J. Scie PP: 253, 617-639
14. Robert I. Bates and Julia A. Jackson (1980). Glossaries of the geology, second edition, pop. Prkin & squire
15. Stanley A.Schumm,Jean F.ducument& John M.holbrook(2000).Active Tectonics and Alluvial Rivers.Cambridge university press